

π中子核子結合 と平均場理論

2002.4.4

阪大核物理センター (RCNP)
"中間エネルギービームによる
核物理" 研究報告

— テンソル力と核構造 —

理化学研究所

池田 清美

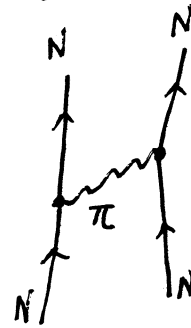
0 はじめに - 話の背景

[i] π中子核子結合

1949 Yukawa の中子論 (1934-5) に対するバリエーション

π中子の確認 $m_\pi \sim 140 \text{ MeV}$ $\frac{\hbar}{m_\pi c} \sim 1.4 \text{ fm}$

現実的核力の確立の出発点



中心力 $\pi + \sigma + \omega + \rho$

テンソル力 $\pi + \rho$

スピン軌道力 $\sigma + \omega + \rho$

[ii] 平均場模型

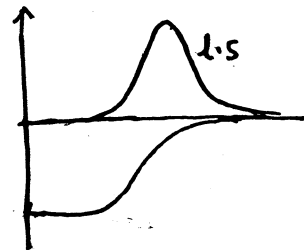
1949 Mayer & Jensen 殻模型

魔法数 2, 8, 20, 28, 50, 82, 126
(6) (16) (40)

平均場: 中心力 + スピン軌道力
central ls

LS結合 ↔ jj結合

微視的模型研究の出発点



[i] + [ii] 核力と核構造 [原子核物理の基本課題(1)]

テンソル力と核構造(核物理)

今日の課題

1. 基本課題

2/28

“核力と核構造・核物理”

原子核物理の基本課題

50年余の研究の歴史を通じて

$H_{real} \quad \Psi(1 \dots A, t) \quad k = (r, \sigma, \bar{r})$

if $\frac{\partial}{\partial t} \Psi(1 \dots A, t) = H_{(real)} \Psi(1 \dots A, t)$

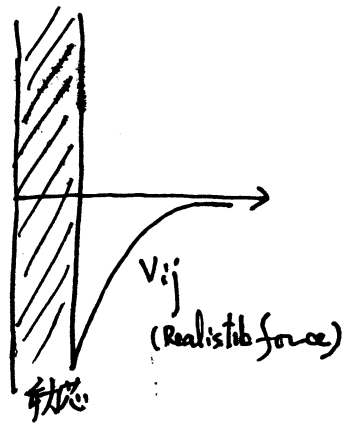
定常状態

[Real Space]

$H\Psi = E\Psi$

$H = T + V \quad V = \sum_{ij} V_{ij}$

(VS)

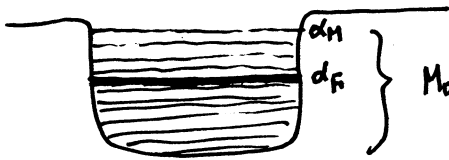
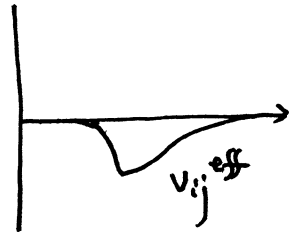


[Model Space]

$H_M \Phi = E \Phi$

$P = \sum_{\alpha} |\alpha\rangle \langle \alpha|, \quad Q = 1 - P$

$H_M = P(T + V_M)P \quad V_M = \sum_{ij} V_{ij}^{eff}$



Model Spaceの基底の設定
[但し設定に任意性]

Model Space
rの Effective int.

$V_{ij}^{eff} = g_{ij}$
2体有効相互作用

$V_{ijk}^{eff} = g_{ij} \frac{Q}{e} g_{jk}$
3体

Reaction Matrix.

$g_{ij} = v_{ij} + v_{ij} \frac{Q}{e} g_{ij}$

$e = E_0 - QTQ$

2. テンソル力とは.

“テンソル力”

π中向交換力がその
主たる源

$$V^{(\pi)}(1,2) = f^2 \left(\frac{m_\pi}{\hbar c} \right)^{-2} \times (\vec{\sigma}_1 \cdot \vec{\sigma}_1) (\vec{\sigma}_2 \cdot \vec{\sigma}_2) \frac{\exp\left[-\frac{m_\pi c}{\hbar} |\vec{r}_2 - \vec{r}_1|\right]}{|\vec{r}_2 - \vec{r}_1|}$$

$$= \left(\frac{f^2}{\hbar c} \right) m_\pi c^2 \frac{1}{3} (\vec{\sigma}_1 \cdot \vec{\sigma}_2) \times \left\{ (\vec{\sigma}_1 \cdot \vec{\sigma}_2) \frac{e^{-x}}{x} + S_{12} \left(1 + \frac{3}{x} + \frac{3}{x^2} \right) \frac{e^{-x}}{x} \right\}$$

(中心力) (テンソル力)

$-4\pi (\vec{\sigma}_1 \cdot \vec{\sigma}_2) \cdot \delta(\vec{x})$
中心力(5液)

$\vec{x} = \frac{m_\pi c}{\hbar} \vec{r}, \quad \vec{r} = \vec{r}_2 - \vec{r}_1$

$V_T = \left(\frac{f^2}{\hbar c} \right) m_\pi c^2 \frac{1}{3} \vec{\sigma}_1 \cdot \vec{\sigma}_2 \cdot S_{12} \left(1 + \frac{3}{x} + \frac{3}{x^2} \right) \frac{e^{-x}}{x}$

$S_{12} = 3 \frac{(\vec{\sigma}_1 \cdot \vec{r})(\vec{\sigma}_2 \cdot \vec{r})}{r^2} - (\vec{\sigma}_1 \cdot \vec{\sigma}_2)$

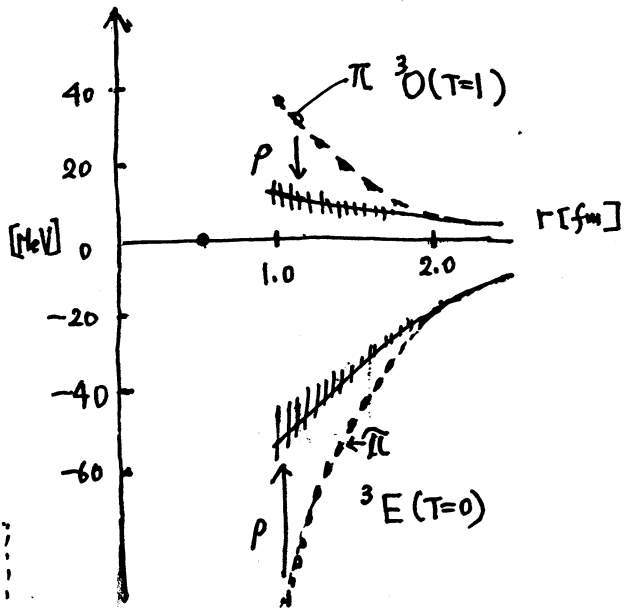
$= \sqrt{\frac{24\pi}{5}} \sum_{\mu} (-1)^\mu S_{2\mu} Y_{2-\mu}(\hat{r})$

$S_{2\mu} = [\vec{\sigma}_1 \times \vec{\sigma}_2]_{2\mu}$

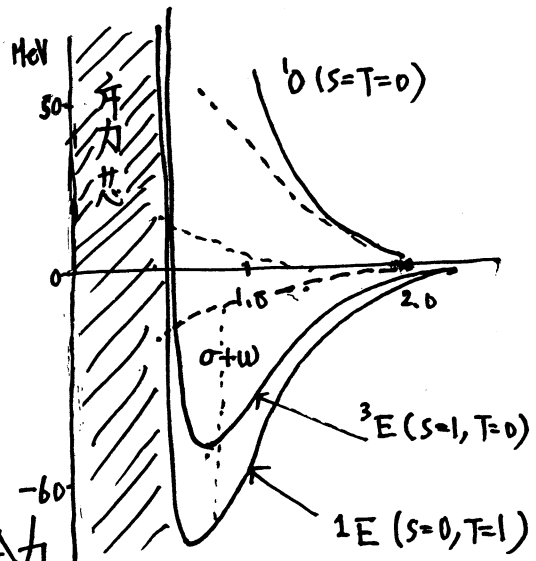
パイオン・スピン ⊗ 軌道空間の結合力

$2^{\uparrow\downarrow} \otimes 2^{\uparrow\downarrow}$
 $9^{\uparrow\downarrow\uparrow\downarrow} \otimes 9^{\uparrow\downarrow\uparrow\downarrow}$

π + ρ
(↑V結合) (Tensor結合)



法中心力



..... π中向子

テンソル力の"原子核"での役割

原子核: 少数多体系 + 有限核子系 + 無限系
(安定核・不安定核 ~ 核物質)

- ① 結合エネルギー, 飽和性
- ② 1体スピン軌道結合力の寄与, 魔法数
- ③ クラスタ化, 空間的局在性
- ④ Magnetic moment, Quadrupole moment, and EM Transitions.
- ⑤ アイススピン・スピン励起モード GTSの集中と分散
" , " 2重極モード
アインベクターモードの Sum Rules
- ⑥ π 凝縮. 無限系での交代層状構造 (ALS構造)
[テンソル力が主役となっている π 凝縮構造]

[主役で取裏方]

① 有効相互作用での

中心力
スピン軌道力 } への繰込み

例: 中心力 (無限系) Ψ/Φ $r > r_{healing}$

1E Central $g_c^{L=0}(r) = v_c u_{00}^{00} / j_0(kr) \rightarrow v_c$

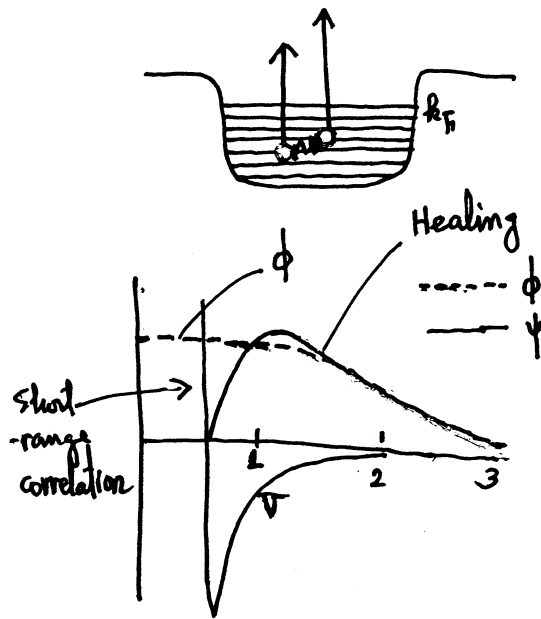
3E Central $g_c^{L=0}(r) = v_c u_{00}^{11} / j_0(kr) \rightarrow v_c$

$+ \sqrt{8} v_T u_{02}^{11} / j_0(kr)$
 $v_T \frac{Q}{e} v_T$

繰込み項

近距離相関を扱う
簡明な模型

Independent-pair scattering in nuclear matter



$$g|\phi\rangle = v|\psi\rangle$$

$$|\psi\rangle = |\phi\rangle + \frac{Q}{\epsilon_1 + \epsilon_2 - \epsilon_1 - \epsilon_2} v|\psi\rangle$$

部分法展開 $|\phi\rangle \propto j_L(kr)$

$$|\psi\rangle \propto u_{LL'}^{JS}(r)$$

例 $\rho_c^{L=0}(r) = v_c u_{00}^{11}(r) / j_0(kr) + \sqrt{8} V_T u_{02}^{11} / j_0(kr)$

$$\parallel V_T \frac{Q}{\epsilon} V_T$$

(テンソル力の2次
が中心力に比べ
大きい)

近距離相関を扱おうとせよ。

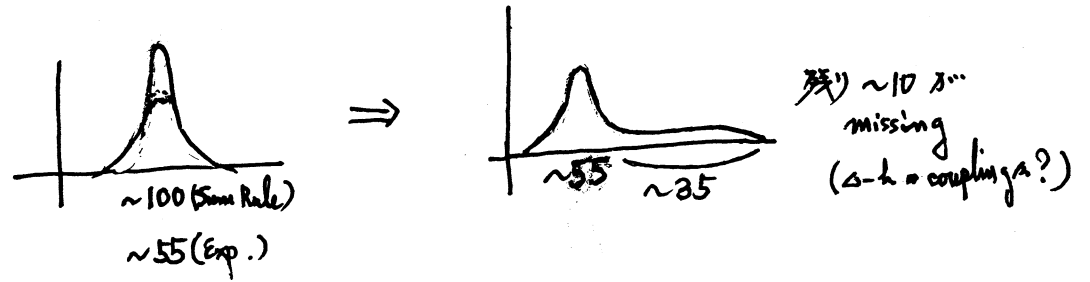
Healing するまでの領域のテンソル力の「くり込み」が
なされている。

問題は 二の中心力にくり込まれるテンソル力の「結合エネルギー」
の効果が非常に大きいことである。

テンソル力のくり込み中心力が 比の中心力の有効中心力
と同じ程度であることである。

② GT strength の集中と分散

V_T を振動として分散させ得る。



「繰り込みか振動」として取扱われる \equiv 裏方の役割

4. テンソル力が核に与える影響

主役の資格の例示 (裏方で詳しい)

(i) 核物質の飽和性

Nuclear Matter "Model space"

	(MeV)
	H-J
E/A	-7.8
KE/A	23.9
PE/A	-31.7
1S	-15.9
3S	-15.8
1P	3.2
3P	0.3
1D	-2.2
3D	-1.3
P(D)	No D

Similar to "Volkov".

$V_T \frac{Q}{e} V_T$ is included.

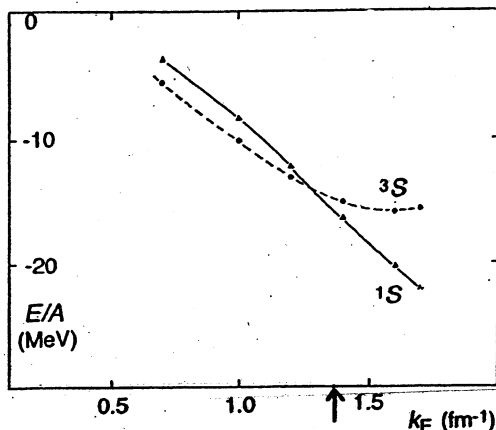
	N.M.	⁴ He
3S/1S ratio	1.0	1.5

"Tensor enhancement"
Y. Akaishi & S. Nagata, P. T. P. 48 (1972) 133
Akaishi-Bando-Nagata, P. T. P. Suppl. 52 (1972) 339
Tensor effects on clusterization

Saturation of Nuclear Matter

H.A. Bethe, Ann. Rev. Nucl. Sci. 21 (1971) 93.

The saturation depends on three factors, in decreasing order of importance:
(a) tensor force; (b) exchange force; (c) repulsive core.



(ii) 軽い核 (A ≤ 12)

(a) 重陽子の結合とテンソル力

理学的核を用いた場合 (Quadrupole moment)

$$\psi = \frac{u(r)}{r} Y_{011}^M + \frac{w(r)}{r} Y_{211}^M$$

$$\left\{ \begin{aligned} & \left[-\frac{\hbar^2}{M} \frac{d^2}{dr^2} + V_C(r) \right] u(r) + \sqrt{8} V_T(r) w(r) = E u(r) \\ & \left[-\frac{\hbar^2}{M} \left(\frac{d^2}{dr^2} - \frac{6}{r^2} \right) + V_C(r) - 2V_T(r) - 3V_{LS}(r) + 7V_W(r) + 6V_{LL}(r) \right] w(r) \\ & \quad + \sqrt{8} V_T(r) u(r) = E w(r) \end{aligned} \right.$$

	RSC	SSC
Energy	-2.22	-2.23
Kin. E	22.16	18.06
Pot. E	-24.38	-20.29
³ S ₁	-0.47	-5.01
³ D ₁	4.55	-1.08
³ S ₁ - ³ D ₁	-28.46	-14.20

(MeV)

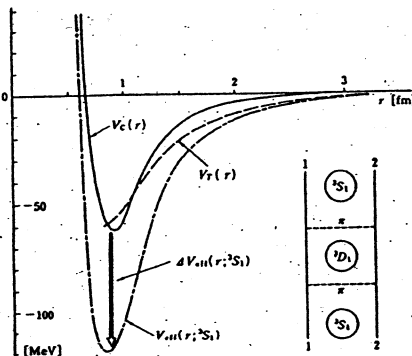
RSC: R.V. Reid Jr., Ann. Phys. 50 (1968) 411
SSC: R. de Tourreil et al., Nucl. Phys. A242 (1975) 445

テンソル力に起因する³S₁状態の励起中心力

$$\begin{aligned} \Psi_d(r) &= \frac{u(r)}{r} |^3S_1, m_J\rangle + \frac{w(r)}{r} |^3D_1, m_J\rangle \\ &= \frac{1}{\sqrt{4\pi}} \left(\frac{u(r)}{r} + \frac{w(r)}{r} \frac{S_{12}}{\sqrt{8}} \right) \chi_{1m_J} \end{aligned}$$

$$V_{\text{eff}}(r; ^3S_1) = V_C(r; ^3E) + \Delta V_{\text{eff}}(r; ^3S_1)$$

$$\Delta V_{\text{eff}}(r; ^3S_1) = \sqrt{8} V_T(r) \frac{w(r)}{u(r)}$$



テンソル力による S 状態と D 状態の結合により 大きな引力がもたらされる。

taken from "核力の多面性" 玉塚典三 in 大学院原子核物理学

T.P.: R. Tamagaki, Prog. Theor. Phys. 39, 91 (1968) (原稿紙参照)

5. 現実的核力を用いた計算

(i) Alpha Particle

$\hbar\omega = 21.6 \text{ MeV}$
 $KE = 3 \times \frac{3}{4} \hbar\omega = 48.6 \text{ MeV}$

	(MeV)			Volk
Energy	-20.6	-21.9		-29.0
Kin. E	131.1	103.6	are 2~2.5 times larger than Strong short-range correlation	48.6
Pot. E	-151.7	-125.4		-77.6
C	1E	-51.3		-38.8
	3E	-26.2		-38.0
	10+30	-0.4		0.0
T	3E	-69.7	The largest contribution	0
	30	-0.5		0
LS+QLS	-3.6	1.9		0
P(D) %	12.8	11.0	D-state correlation due to tensor force	0

H-J; T. Hamada & I.D. Johnston, Nucl. Phys. 34 (1962) 382

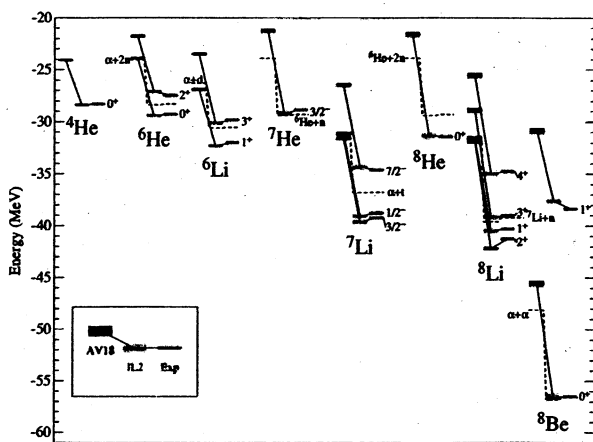
Volk; A.B. Volkov, Nucl. Phys. 74 (1965) 33

Y. Akaishi, Few-Body System In Realistic Interaction in Cluster Models and Other

Topics, Int. Review of Nuclear Physics, edited by T. T. S. Kuo and E. Osnes (World Scientific, 1986) Vol. 4, p. 259

(ii) 軽い核 ($A \leq 8$)

R.B. Wiringa, Steven C. Pieper, J. Carlson and V.R. Pandaripande
 Phys. Rev. C62(2000)014001



AV18/IL2

- 強い斥力芯、状態依存性を持つ生の核力を直接用いる。
- 2, 3核子間の相関を直接扱う
- 変分計算
- 実験データとのすばらしい一致
- One Pion Exchange の重要性
- $A = 12$ 系までが限界

taken from Pieper et al. nucl-th/0103005

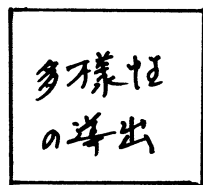
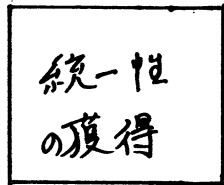
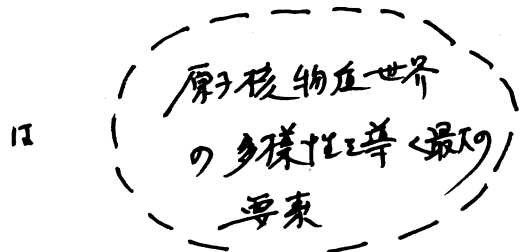
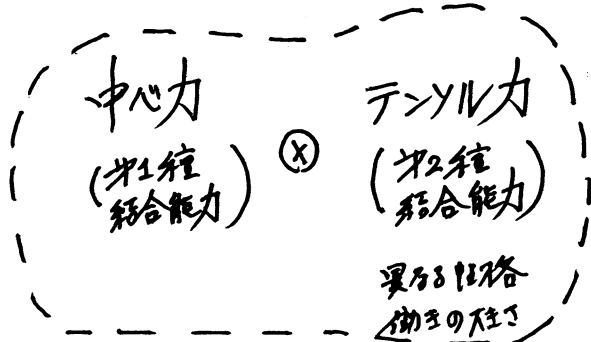
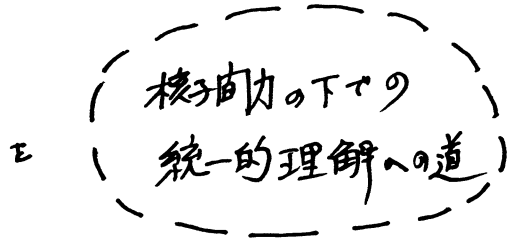
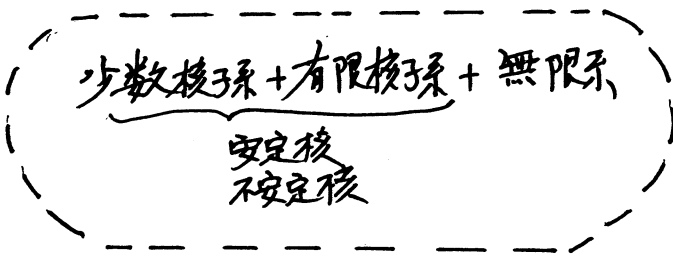
	K	v_{ij}	v_{ij}^π	V_{ijk}	$V_{ijk}^{2\pi}$	$V_{ijl}^{3\pi}$	$-B$	$-B_{exp}$	v_{ij}^π/v_{ij}
^4He :	115.(1)	-136.(1)	-105.	-8.4(1)	-16.3(1)	0.63(1)	-28.37(3)	-28.30	0.77
^8Be :	256.(4)	-303.(3)	-224.(2)	-21.(1)	-38.5(9)	-0.9(9)	-56.6(4)	-56.50	0.77

[単位: MeV]

$3 \leq A \leq 8$ の系で One Pion Exchange からの寄与が
 2体ポテンシャル・エネルギー全体の 70-80% を占める!!

6. テンソル力による相図がもたらすもの(①)

主役の1人とつながり

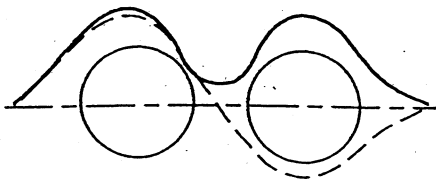


多様性の1例

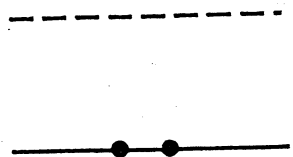
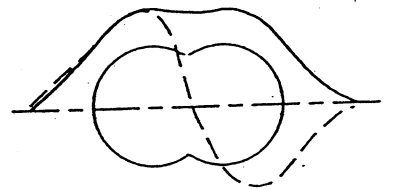
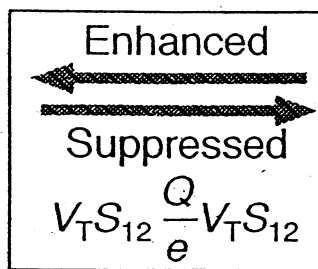
"-7の原子核の系に異なる性格の構造の出現"

クラスター構造 と 殻模型構造

クラスター化 と テンソル力



$\omega = \epsilon_1 + \epsilon_2$



$\approx -8 \frac{V_T^2}{|A|} + 2 \frac{V_T^2}{|A|} S_{12}$

Central Tensor $\Delta = (\epsilon_1 + \epsilon_2) - (t_1 + t_2)_{av}$

構造に依りテンソル力の効果は大きく変化する。

7 現実的核力をを用いたの厳密計算の示したこと (^8Be , 2α 構造の変形回転体)

そして、実現した構造は、彼等の言葉を借りれば、"These results obtained VMC (variational Monte Carlo calculations) wave functions, suggest that the 0^+ , 2^+ , and 4^+ wave functions for ^8Be have the structure of a deformed rotor consisting two α 's. The structure is not manifest in the shell model part of the VMC wave functions; it is induced by the correlations. The optimum spatial correlations between pairs of s-shell and p-shell nucleons are similar, but those between one s-shell and one p-shell nucleon are different. Calculations using GFMC (Green function Monte Carlo) configurations give very similar results expect that, especially for the $J=4^+$ state, the rms radius is still growing at the end of the GFMC propagation [Ref.2, page 21-22]."

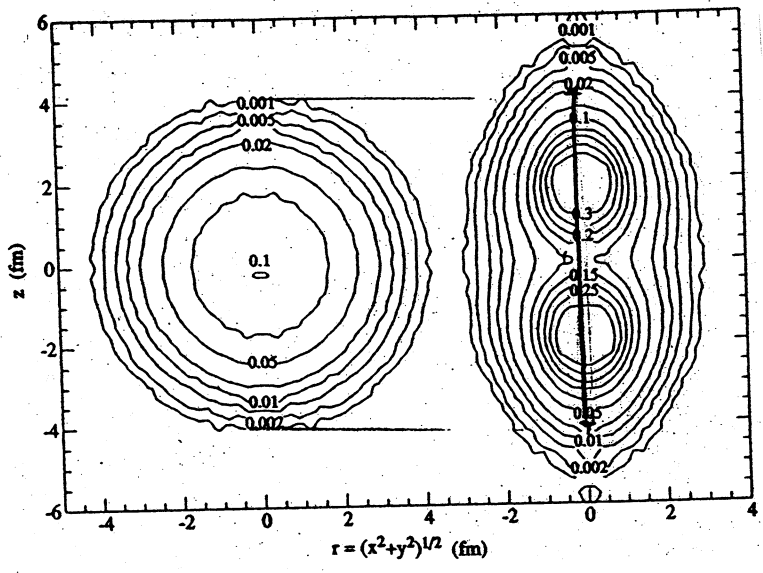


TABLE XIII. VMC calculation of moments and transition strengths for different multiplicities λ in the rotational states of ^8Be ; the units are fm and the proton charge.

Observable	λ	Value	Q_0 or M_4
$Q(2^+)$	2	-7.61(8)	26.6(3)
$Q(4^+)$	2	-9.76(10)	26.8(3)
$B(E2, 2^+ \rightarrow 0^+)$	2	14.8(4)	27.3(4)
$B(E2, 4^+ \rightarrow 2^+)$	2	18.2(4)	25.3(3)
$\langle 2^+, 2 r^4 Y_{4,0} 2^+, 2 \rangle$	4	2.5(2)	53.(4)
$\langle 4^+, 4 r^4 Y_{4,0} 4^+, 4 \rangle$	4	4.3(2)	34.(2)
$B(E4, 4^+ \rightarrow 0^+)$	4	167.(16)	39.(2)

左図は密度の等高線を描いたもので、右側の intrinsic frame の中で左側は Laboratory frame である。

さて、上記の様に、基底回転帯を2つの α 粒子からなる変形回転体構造とすると、 ^8Be から裸の2つの α 粒子を引き去った残りのエネルギーは、2つの α クラスター間の相対運動に関わる相関エネルギーと見なすことができます。表の最後の行は、その相関エネルギーに対応しています。 α クラスター間相関は α を凝縮させる相関エネルギーに比して、一桁程度弱い相関になっていることが判ります。即ち、この報告を我々の視点から言及すると、 ^8Be 系では2つの α クラスターに π 凝縮した構造が結合エネルギーを最大にすることを意味していると理解できます。

結合エネルギーの内訳

	K	$v_{ij} (= v_{ij}^\pi + v_{ij}^R)$	v_{ij}^γ	$V_{ijk} (= V_{ijk}^{2\pi} + V_{ijk}^R)$	-B	-Bexp.
^4He	4He:	110.7 - 135.3 (= -102.4 + -32.9)	0.86	-6.3 (= -11.5 + 5.2)	-28.34	-28.30
^8Be	^8Be :	248. - 301. (= -227. + -73.)	3.27	-14.9 (= -27.1 + 12.3)	-54.44	-56.50
	$^8\text{Be} - 2(^4\text{He})$:	27.6 - 30.4 (= -22.2 + -7.2)	1.75	-2.3 (= -4.1 + 1.9)	2.24	0.10

[単位:MeV]

8テンソル力による相互作用の(4の2)

交代層状 (ALS) 構造

1軸方向に周期性帯のスピ密度変化のある構造 - 1種のπ凝縮 [テンソル力による]

スピ密度一本 → 1軸方向の平行移動に変化する

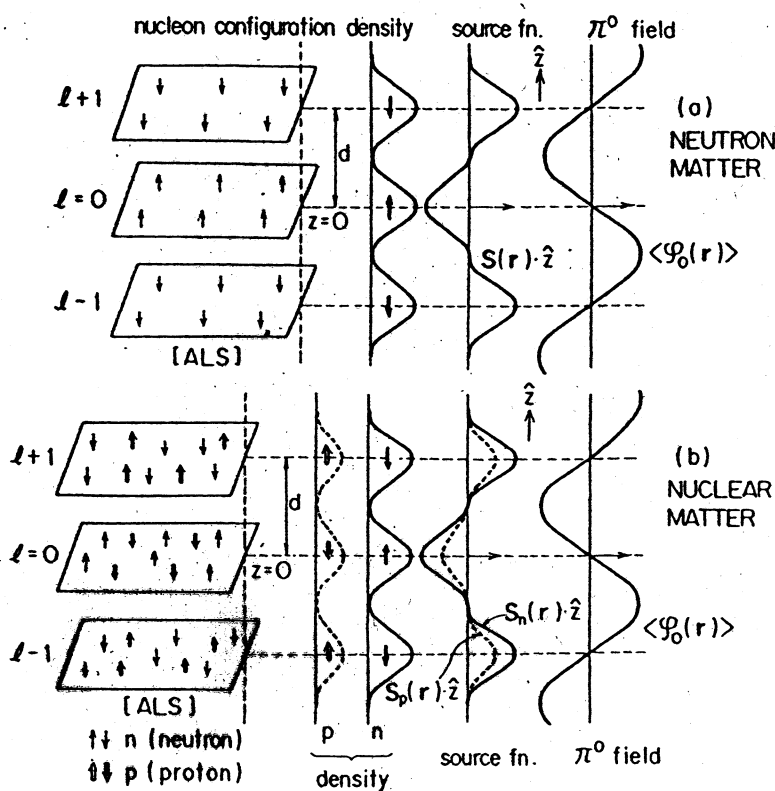
↓
スピ密度変化はπの対称性を破る。

有限核でのスピ密度変化(スピ密度帯)はハミルトン対称性を破る。

ALS 構造

PTP, Suppl. no. 112

Takahashi,
Tamagaki,
Tatsumi.



Equivalence between the potential description and the field description

nucleon state	π^0 state
ALS structure $ \Phi_{ALS}\rangle$	pion coherent state $ \Phi_B\rangle$
π^0 source function	condensed φ_0 wave
$\nabla \cdot S(r) \neq 0$	$\langle \varphi_0(r) \rangle \neq 0$
$S = \langle \psi_N^\dagger \sigma_{T3} \psi_N \rangle$	$U_\pi = -\vec{f}_{T3} \sigma \cdot \nabla \langle \varphi_0 \rangle$
$\frac{1}{2} \sum_{\alpha, \beta}^{(occ)} \langle \alpha \beta V^{OPE} \alpha \beta \rangle = \langle \Phi_0 H_{\pi^0} + H_{\pi^0-N} \Phi_0 \rangle$	$= \frac{1}{2} \int dr \{ (\nabla \langle \varphi_0 \rangle)^2 + m_\pi^2 \langle \varphi_0 \rangle^2 \}$
direct term	classical part
$-\frac{1}{2} \sum_{\alpha, \beta}^{(occ)} \langle \alpha \beta V^{OPE} \beta \alpha \rangle \dots$	lowest order
exchange term	quantum correction

主役の1人とする方策の1つ.

テンソル力のもたらす相関を
"擬粒子 (quasi-particle)" の導入で取扱う.

即ち 1粒子基底をテンソル力のもたらす相関を
組込む方向で変更する.

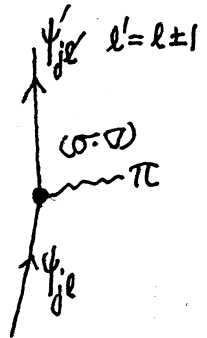
別言 π 中間子交換力と組込む (π 中間子を働かせる称に)
1粒子基底導入する

模式的に"21"

$$\psi_{je} \Rightarrow \xi \psi_{je} + \zeta \psi'_{je}$$

$$\psi'_{je} \propto (\sigma \cdot \nabla) \psi_{je}$$

$l = l \pm 1$
(パリティ変化)
(スピン反転)



擬粒子導入例との対照.

[取扱う相関]

$\pi = 0^+$ 対相関

4重極変形相関

"テンソル力 (π 交換) 相関"

[1粒子状態の拡張において
破れる対称性 (Broken Symmetry)]

粒子数

軌道角運動量

"パリティ (+スピン + アイスピン)"

π 中間子場と組込む平均場理論の構築

8. 当面の目標

12/22

【 π 中子核子結合を含む平均場理論の構築】 (杉本聡 (ISM) の経験) (土岐博 (RCNP) の経験) (KFB)

π 中子核子結合 (テンソル力) の拡張相図を
 σ のNR-取扱うことと可能にする。

現在 $\langle \sigma \rangle \neq 0$ $\langle \omega \rangle \neq 0$ $\langle \rho \rangle \neq 0$ (σ, ρ, ω) RMF理論
 の構築を行う

\downarrow
 $\langle \pi \rangle \neq 0$, $\langle \sigma \rangle \neq 0$, $\langle \omega \rangle \neq 0$ $\langle \rho \rangle \neq 0$.

即ち $(\pi, \sigma, \rho, \omega)$ 相対論的平均場理論 (RMF理論)
 の構築を行う。

① $(\sigma, \rho, \omega) \rightarrow (\sigma, \rho, \omega, \pi)$ RMFT. を採用する理由

- ① 非相対論を含む
- ② Dirac 方程式を扱う (4次元空間: スピン空間が内在的に結合)
- ③ スピン空間 ⊗ 軌道空間, 結合を dynamical に扱う。
- ④ 中子核子の働きが直接的に見える。

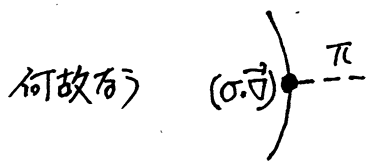
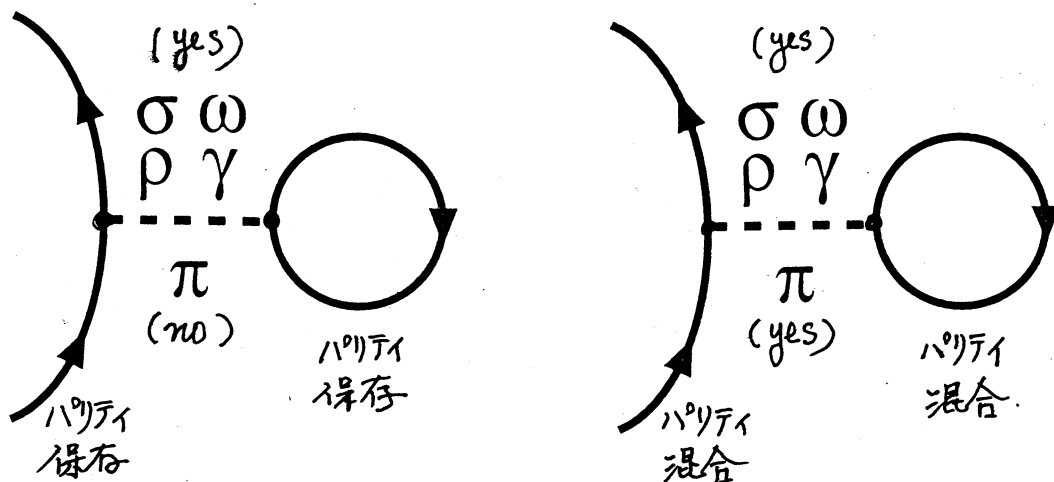
② $\langle \pi \rangle \neq 0$ 導入の展望のふろか

- ① π 中子が拡張テンソル力相図を議論できる。
- ② OPEP 模型で核力を導く必要の異なる性格の中子とすべし含めることとする。

従って 非相対論的構造研究 (核力に基づき) と対比が可能とする

- ① 改善点 (逆進歩)
 - ② Hartree \rightarrow Hartree-Fock
 - ③ ρ 中子核子の空間成分を引入し、テンソル結合を扱う
 - ④ 既存の Model Parameters (結合定数の設定)
 - ⑤ 110 MeV, 7 MeV の破れを復活。

パリティ対称性の破れに平均場の導入.

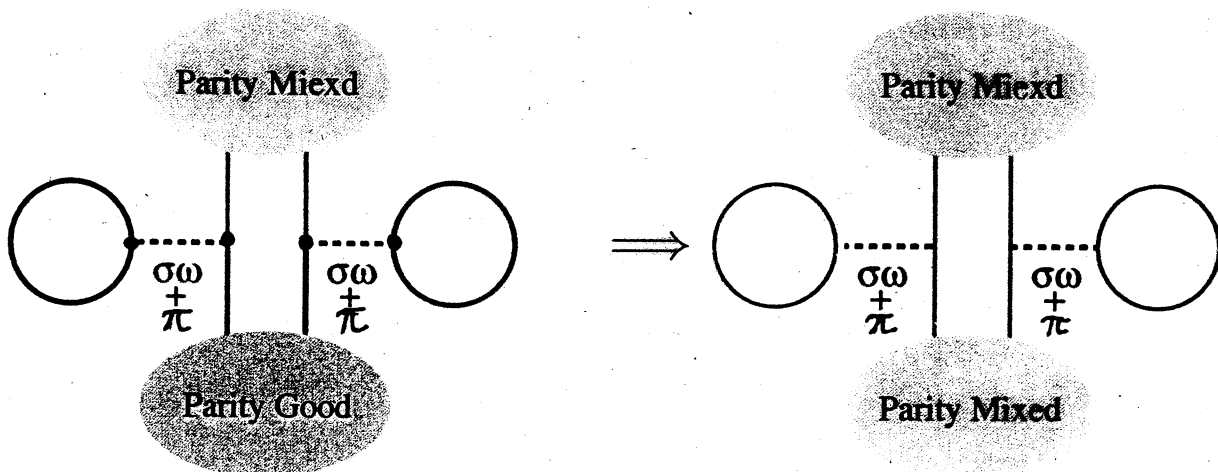


π 中間子は擬スカラー
 π -N結合は擬ベクトル結合
 $\propto (\sigma \cdot \vec{\nabla})$

従って 1粒子状態及び核内からつくられる
 内部状態がパリティ混合状態であると、核内の核子は
 自由に π 交換が可能となる。

ニハクによって

パイオンの効果を取り込んで平均場(波動関数) Σ



Self-Consistent Mean Field breaks Parity Symmetry

得られた内部状態波動関数はパリティ混合状態であるか?

パリティ射影 $r=0$ パリティ対称性を回復する=比する。

閉殻核 ($N=Z=6, 8, 20, 28, 40, 50, 82$) への適用
 (杉本・土岐・池田共同研究による)

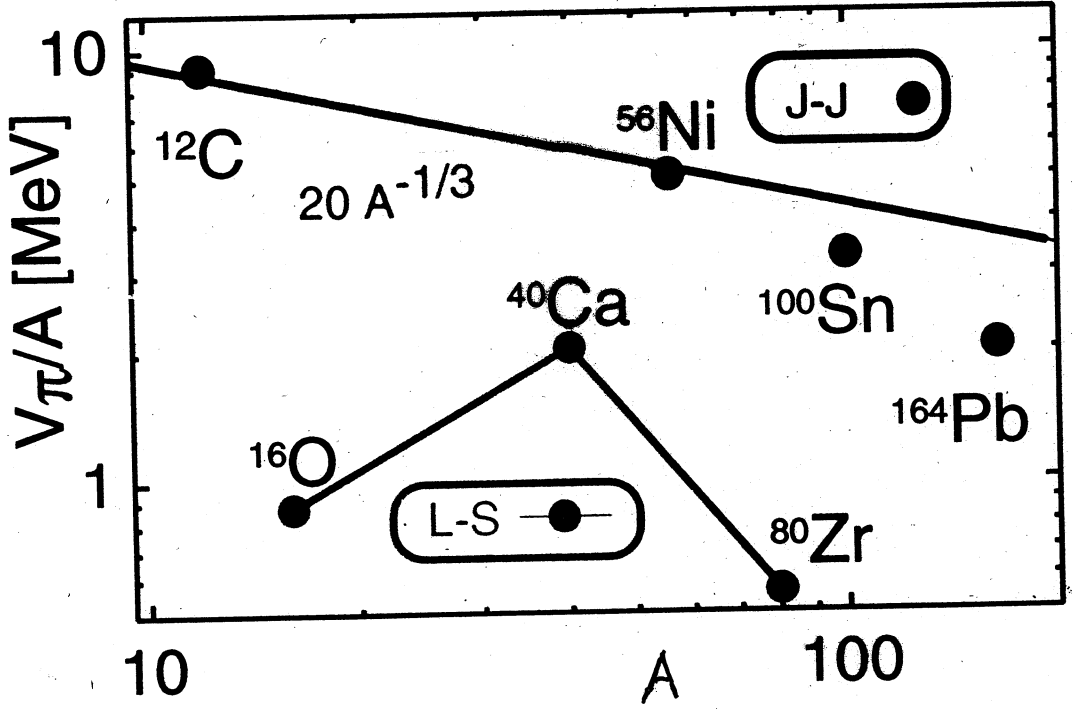
- ① (σ, ω, ρ) 模型のパラメータを採用.
- ② 新たに π -N 結合を加える.
 (π 交換核力と等しく結合定数を採用)

有限 $\langle \pi \rangle$ 場が
 得られるかどうかを見る
 ため.

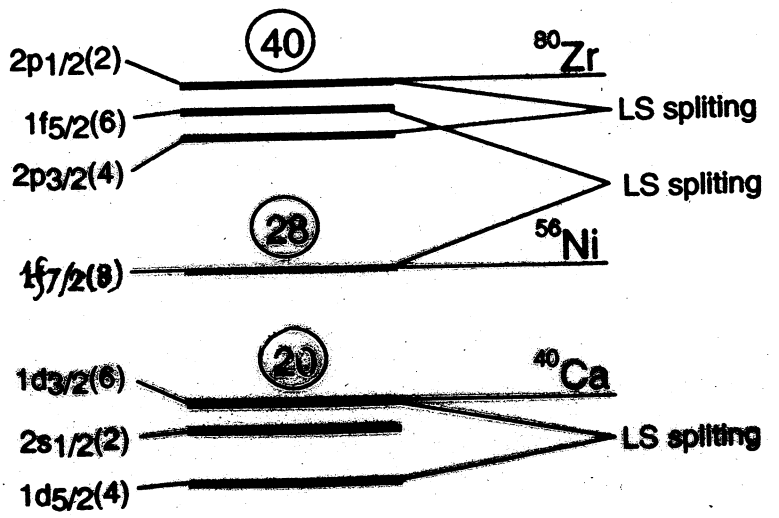
既に (σ, ω, ρ) で 結合エネルギー等が得られているので、有限 $\langle \pi \rangle$ 場が
 得られると 結合エネルギーは 尙ほ 尙ほ 得られることを見るが、有限 $\langle \pi \rangle$ 場が
 得られるかどうかは、然否であるので、上記の様に 結合定数パラメータを設定

結果

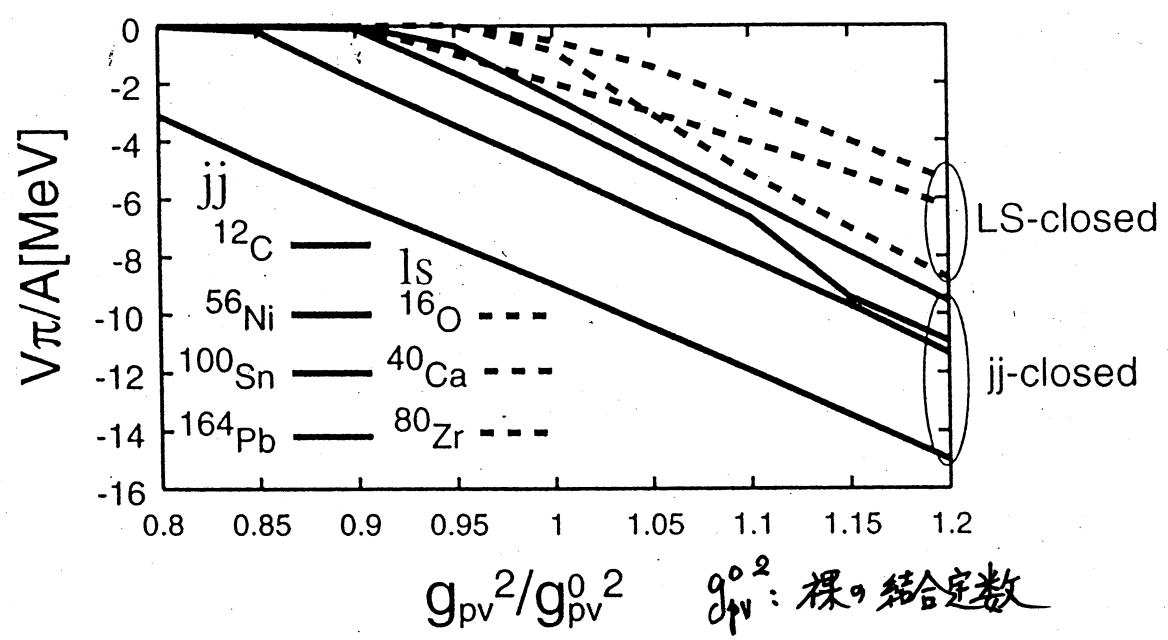
核子あたりの
 パイ中間子による
 結合エネルギー



- ρ 中間子場を持つに解が得られた.
- j -j 閉殻核 と L-S 閉殻核
 で異なった振舞をする解が得られた.
- j -j 閉殻核の (結合エネルギー/A) は
 surface-like 核相 $\propto A^{-1/3}$ と
 示している.



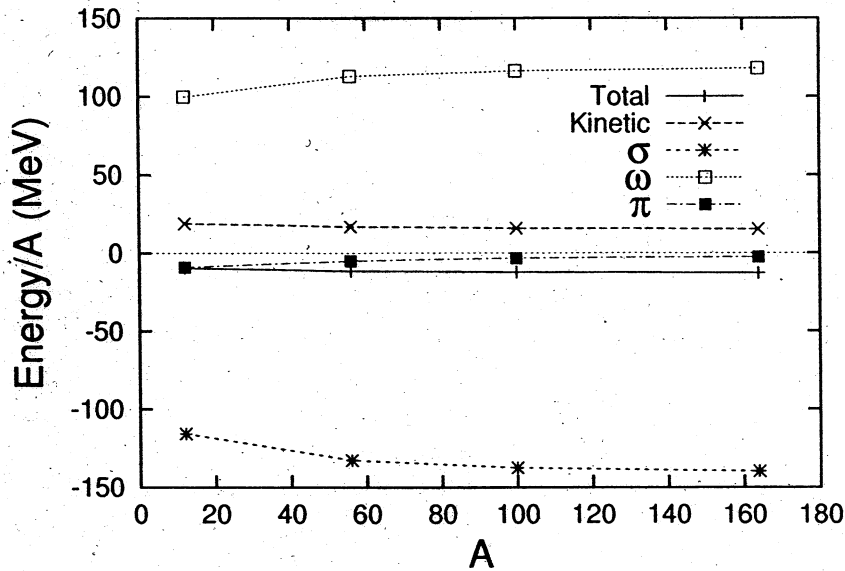
核子間のパイオン結合エネルギー $\langle V_\pi \rangle / A$ の結合定数 g_{pv}^2 の強さに対する依存性



- パイオンの結合エネルギーの寄与が生じる 臨界結合定数 $(g_{pv}^2)_{cr}$ が存在する。上記の結果は $0.85 \sim 0.95 g_{pv}^0^2$ の領域に $(g_{pv}^2)_{cr}$ が存在することを示す。
- パイオンが核子間相互作用による パリティ混合状態への相転移は 運動エネルギー及び他の中間子のエネルギー寄与への損失をパイオンのエネルギー寄与を上まわるとして生じる。
- パイオンのエネルギーへの寄与の大きさに比例する $\langle \pi \rangle$ が パリティ混合の大きさの指標であり (- 種の秩序パラメータ)、これは α 核での D-state 振幅に対応するものである。
- パリティ混合がどの程度生じているのか、実際の原子核で調べていくのが今後の重要な課題である。そのためには、前述した相対論的平均場理論を $(\pi, \sigma, \omega, \rho \dots)$ 模型で検証していくことが不可欠である。
- ここでも LS-closed と jj-closed 核での相違はあらわであり、jj-closed 核の方がよりパイオン場と強く結合している様相が明らかに示されている。

[結合エネルギーの寄与の内訳と π 中子を入れた場合と入れない場合の核子数の変化] 16/22

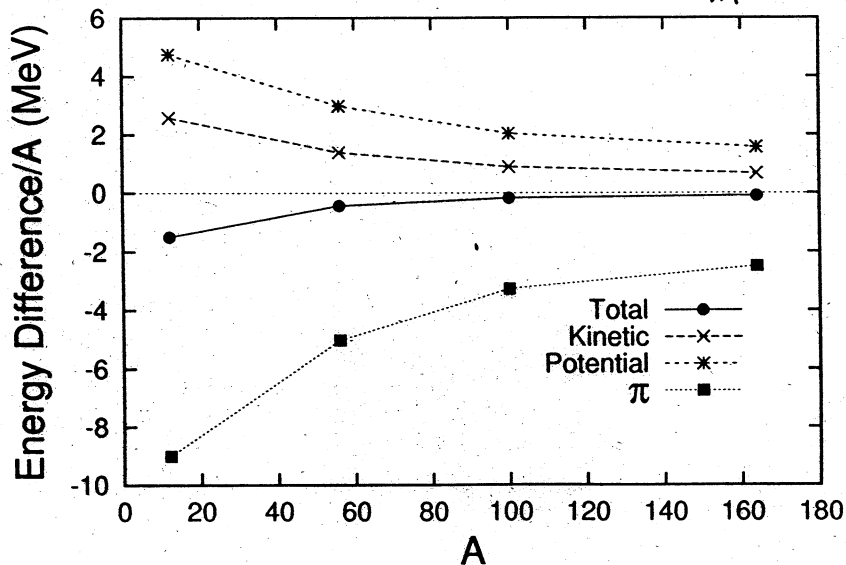
Energy Per Particle



- σ, ω , 運動エネルギーの寄与はほぼ Volume-Like

(a) TM1 Parameter set の (σ, ω) 模型 での訂正値
 (b) 上記(σ, ω) 模型に OPEP に対する π -N 結合を加えての訂正値) 二の差を以下に示す。

Energy Difference (π 中子を入れた場合と π 中子を入れない場合との差)



- 運動エネルギーは大きくなり損をする。
- ポテンシャルエネルギーへの σ, ω のそれぞれからの寄与は減少し、全体としても損をする。
- パイオンがそれらの損に打ち勝つ寄与を及ぼし全体としてはエネルギー的に得をする。

$j-j$ closed 核と LS closed 核の違いについて.

$j-j$ closed 核の最次の既位は l_{max} の中の最も大きい $j = l_{max} + 1/2$ に核子がすべて埋まっている。 → LS closed 核では l_{max} の j まで埋まっている場合である。 (^{40}Ca と ^{56}Ni では $1f_{7/2}$ が埋まっているか埋っていない場合である。) π 中核子核子結合を考之ると.

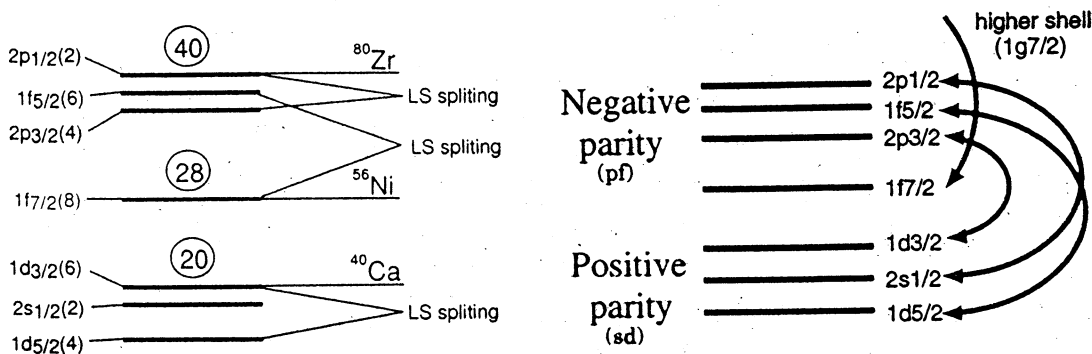
• $j-j$ -closed

High- j 軌道を含めて占拠している 1 粒子状態はすべてフルミ率位以上の軌道と結合することができる。

• LS-closed

High- j 軌道がフルミ率位近傍にあるにも関わらず、その状態は占拠されている 1 粒子状態と結合することができない。

• 結合に参与することが可能な ($j-j$ closed) High- j 軌道は、大抵 $2l+1$ の多重度を持つ。



例示, $1g_{7/2}$ は高 shell の $1g_{7/2}$ と結合する。占拠されているものは、その結合は生じず。占拠されていないものは結合は生じる。この差が大きく、 π -N 結合には大きな相違をもたらす。

『まとめ-おわりに』

18/22

〔テンソル力と取上げる状況〕

テンソル力 または π 中子核子結合の相互作用の原子核構造に与える大きな影響は、現在の構造モデルにおいては、直接でなく間接的に“繰込”まれている。

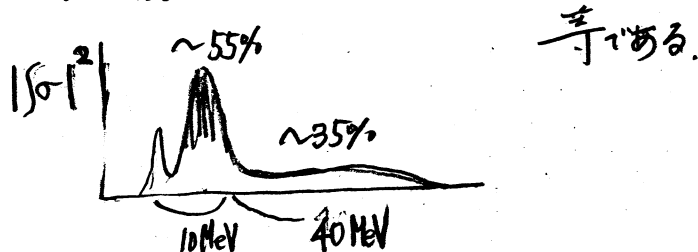
現在の実験的・理論的研究は、間接的に“繰込”みを超えて、テンソル力(または π 中子核子結合)のもたらす効果と露呈するまでになって来ていると考えられる。

実験的な例

- (1) Gamow-Teller strength $|\int \sigma|^2$ の sum rule の約 35% の励起エネルギー - 50 MeV までの分散
- (2) π 相関による縦方向のスピン応答の大きな減殺
- (3) 一粒子運動状態の光学的因子の総和の 70%
しか低励起エネルギー - 励起領域には見つからないこと。
等。

理論的な側面の例

- (1) 飽和性、結合エネルギーへの寄与、スピン軌道力への繰込み等にテンソル力または交換核力の非常に大きな寄与。
- (2) 8体系までの模型空間に制限を置たり現実的核力を用いたの研究によって示されたこと。 π 交換力の圧倒的な寄与 (~70%)。
- (3) GT分散等の広いエネルギー領域への分散はテンソル力に主として因っていることが示されたこと。



[二] 情況に対応するには

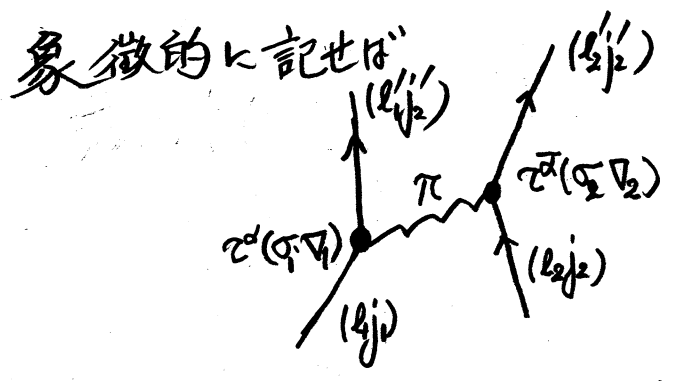
(1) 理論面

テンソル力(特に π 中間子核子結合)のとりま相関を "適切に直接的に" 取扱うことが要請され

(2) 実験面

木と森を同時に観測することが要請される。これは RCNP の近未来の実験計画で"これは"

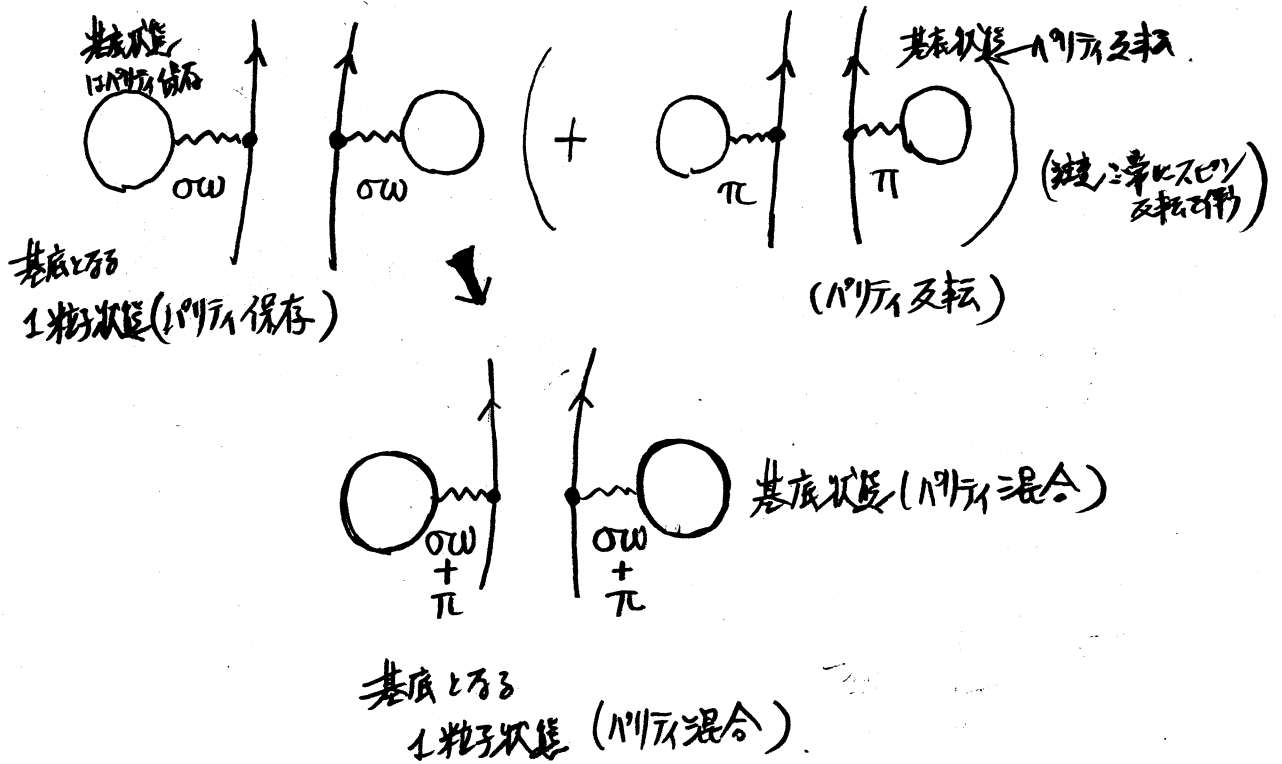
- (A) 高エネルギー領域での精密実験の系統的研究
 - (B) スピンと軌道運動の結合の探求を明らかにする系統的研究
- が要請されているといえよう。



のとりま 粒子間相関現象の研究を理論的・実験的に系統的全面的に発展させることが要請されている。

[新たなπ場を含む平均場理論の試み]

π中向子核子結合場を組み入れた平均場理論の構築



- 1粒子状態の対称性を破る。(全系の状態は元の対称性を復活させる)
対称性を保存する射影

破る対称性 アイソスピン・スピン・パリティ

↑
(=U(1)での
種類でも破れる)

即ち

新たに破る対称性は

パリティとアイソスピン

によって

[π中向子核子結合(強い相互作用)の軌道相関
を基底状態(平均場近似)に組み込む]

[π 場が自己無撞着解として存在する意味]

パリティを混合した自己無撞着解が得られることは

即ち $\langle \pi \rangle = \langle \phi(0, z) \rangle \neq 0$ (finite)

π 中間子核子結合場が有限振幅を持つ一種の相転移を意味する。これを"核表面 π 凝縮"と呼称している。

この様な、パリティの変化するポテンシャル場での1粒子状態の粒子は "quasi-particle (擬粒子)" といい、現在の場合は通常の粒子状態と異なり、virtualに存在した π 中間子と結合した "1粒子-1 π " の成分を表すため、パリティ混合の1粒子状態にある粒子と存在している。

[パリティ混合によって生じた事柄]

その基本を示すと次の様に示す。

$\left\{ \begin{array}{l} \text{パリティ保存の} \\ \text{平均場理論} \end{array} \right\} = \text{パリティ保存の平均場} \equiv \text{近距離相関の繰込み}$
 $\text{ハミルトニアン} \equiv \text{[斥力芯 + テンソル力等]}$

$\left\{ \begin{array}{l} \text{パリティ混合の} \\ \text{平均場理論} \end{array} \right\} = \text{パリティ混合の平均場} \equiv \text{テンソル力相関} \oplus \text{斥力芯のハミルトニアン}$
 $\text{ハミルトニアンと波動関数に} \equiv \text{の組み込み} \equiv \text{の繰込み}$

1格おいて相関を分離したことにあつた。

[21Rにおいて、実験的には30%近い相関振幅確率の内半分を越えたと考えられるテンソル力相関を抜き出し、その及ぼす構造への影響とそのおこす現象を明らかにするにとつてある。]

